

Минимум линейных огибающих, если он находится в области за линзой, определяется тем же выражением (7), в которое подставлены выражения  $x_\alpha$ ,  $x_\beta$ ,  $x'_\alpha$ ,  $x'_\beta$  в свободном от поля пространстве за линзой. После несложных преобразований получим

$$z = \frac{x_{\beta 1} A + x_{\alpha 1}}{x'_{\beta 1} A + x'_{\alpha 1}} + a + L, \quad (14)$$

где

$$A = \left( \frac{r_{x0}}{x'_I} \right)^{k/k-1} \cdot \left( \frac{x'_\beta}{x'_\alpha} \right)^{1/1-k},$$

$x_{\alpha 1}$ ,  $x_{\beta 1}$ ,  $x'_\alpha$ ,  $x'_\beta$  — линейно независимые решения и их производные на выходе эффективного поля линзы, которые определяются формулами (13) при  $\tilde{z} = L$ .

Для рассмотренного выше примера кроссовер астигматичного пучка, совпадающий с минимумом промежуточных огибающих, находится в плоскости  $z = 4.31L$ .

### Список литературы

- [1] Лоусон Дж. Физика пучков заряженных частиц. Пер. с англ. М.: Мир, 1980. 438 с.
- [2] Шпак Е.В., Гаевилов Е.И. // ЖТФ. 1982. Т. 52. Вып. 6. С. 1188–1193.
- [3] Fink J.H., Schumacher B.W. // Nucl. Instr. Meth. 1975. Vol. 130. N 2. P. 353–358.

Физико-технический институт им. А.Ф. Иоффе  
Санкт-Петербург

Поступило в Редакцию  
13 января 1992 г.

01;07  
© 1992 г.

Журнал технической физики, т. 62, в. 11, 1992

## ЭВОЛЮЦИЯ ОГИБАЮЩЕЙ ФЕМТОСЕКУНДНОГО СВЕТОВОГО ИМПУЛЬСА В ВОЛОКОННОМ СВЕТОВОДЕ

B.P. Земсков

### Введение

Уравнение для эволюции светового импульса с длительностью  $\sim 10$  фс имеет вид обобщенного нелинейного уравнения Шредингера [1]

$$i\partial_z q + \partial_t^2 q + 2|q|^2 q + 2ia\partial_t(|q|^2 \cdot q) = 0. \quad (1)$$

Здесь  $z$  — безразмерная координата вдоль оси световода;  $v_r$  — групповая скорость;  $t = (T - z/v_r)/\tau_0$ ;  $T$ ,  $z$  — размерные время и координата,  $\tau_0$  — длительность импульса; величина  $q$  с точностью до постоянной определяет амплитуду огибающей импульса,  $a$  — постоянная.

Подстановкой

$$q = \sqrt{a} \exp(-iz/a^2 + it/a) \cdot \varphi(t - 2z/a, z)$$

уравнение (1) приводится к уравнению НУШП [2]

$$i\partial_z \varphi + \partial_\xi^2 \varphi + 2ia^2 \partial_\xi(|\varphi|^2 \cdot \varphi) = 0. \quad (2)$$

Уравнение (2) имеет точное решение [3]

$$\varphi = \frac{A}{\sqrt{2}a} \exp [i(A^2 - u)(uz - \xi)]. \quad (3)$$

Здесь  $A$  и  $u$  — постоянные. С помощью (3) получаем точное решение уравнения (1)

$$q = \frac{A}{\sqrt{2}a} \exp \left[ iz \left( (A^2 - u) \left( u + \frac{2}{a} \right) - \frac{1}{a^2} \right) + it \left( \frac{1}{a} - A^2 + u \right) \right]. \quad (4)$$

Волна (4) при достаточно большой амплитуде огибающей волны  $A$  может опрокинуться. В разделах 1,2 исследуется опрокидывание огибающей, в разделе 3 делаются выводы и обсуждаются результаты.

### 1. Усредненное описание световой волны в волоконном световоде

Будем считать  $A$  и  $u$  в (4) слабозависящими от  $\xi$  и  $z$ :  $A = A(\xi, z)$ ,  $u = u(\xi, z)$ . Величину  $a$  считаем постоянной. Применяя метод усреднения Уизема [3], получаем для  $A$  и  $u$  систему уравнений Уизема

$$\begin{aligned} \frac{\partial}{\partial z} (A^4 - 2uA^2) + \frac{\partial}{\partial \xi} (2A^2u - 4A^2u^2) &= 0, \\ \frac{\partial u}{\partial z} + 2u \frac{\partial u}{\partial \xi} &= 1/2 \frac{\partial}{\partial \xi} (A^2 \cdot (A^2 - 2u)). \end{aligned} \quad (5)$$

Система уравнений (5) есть система уравнений эйлеровской гидродинамики [4]; (5) можно записать в римановой форме через инварианты  $\lambda_+$  и  $\lambda_-$

$$\begin{aligned} \lambda_+ &= 2u + 2\sqrt{(2u - A^2) \cdot A^2}, \\ \lambda_- &= 2u - 2\sqrt{(2u - A^2) \cdot A^2}. \end{aligned} \quad (6)$$

Если один из инвариантов (6) постоянен, то (5) дает решение в виде простой волны Римана. Простая волна однако не может описывать эволюцию огибающей после опрокидывания. Поэтому для определения структуры поля в уиземовской области возьмем, согласно [5], решение

$$\Phi = \Phi_4 + \frac{(\Phi_1 - \Phi_4) \cdot (\Phi_3 - \Phi_4)}{\Phi_1 - \Phi_4 - (\Phi_1 - \Phi_3) \operatorname{dn}^2 \left( \frac{1}{4} \sqrt{(\Phi_2 - \Phi_4) \cdot (\Phi_1 - \Phi_3)} \zeta, s \right)} \quad (7)$$

для  $\Phi_1 \geq \Phi \geq \Phi_2$ ,

$$\Phi = \Phi_4 + \frac{(\Phi_3 - \Phi_4) \cdot (\Phi_1 - \Phi_4)}{\Phi_3 - \Phi_4 + (\Phi_1 - \Phi_3) / \operatorname{sn}^2 \left( \frac{1}{4} \sqrt{(\Phi_2 - \Phi_4) \cdot (\Phi_1 - \Phi_3)} \zeta, s \right)} \quad (8)$$

для  $\Phi_3 \geq \Phi \geq \Phi_4$ . Здесь  $\Phi = A^2$ ;

$$s^2 = \frac{(\Phi_1 - \Phi_2)(\Phi_3 - \Phi_4)}{(\Phi_1 - \Phi_3) \cdot (\Phi_2 - \Phi_4)};$$

$\zeta = \xi - r \cdot z$ ;  $dn$  и  $sn$  — эллиптические функции Якоби;  $\Phi_1, \Phi_2, \Phi_3$  и  $\Phi_4$  — корни некоторого полинома четвертой степени, которые могут быть выражены известными формулами [5] через  $\lambda_1, \lambda_2, \lambda_3$  и  $\lambda_4$  — римановы инварианты. В [5] получена система уравнений Уизема для (2). Одно из этих уравнений имеет вид

$$\frac{\partial \lambda_1}{\partial z} + \left[ \lambda_1^2 + \lambda_2^2 + \lambda_3^2 + \lambda_4^2 - \frac{2(\lambda_1^2 - \lambda_2^2) \cdot (\lambda_1^2 - \lambda_4^2) \cdot K(s)}{(\lambda_2^2 - \lambda_4^2) \cdot E(s) - (\lambda_1^2 - \lambda_4^2)K(s)} \right] \frac{\partial \lambda_1}{\partial \xi} = 0. \quad (8)$$

Здесь  $K$  и  $E$  — эллиптические интегралы первого и второго рода.

## 2. Опрокидывание огибающей светового импульса

При опрокидывании огибающей  $\partial A / \partial \zeta \rightarrow \infty$  и форма огибающей близка к ступеньке. При этом считаем до возникновения особенности опрокидывания справедливым решение (4) и  $A$ ,  $u$  из (5), а после опрокидывания (7), в котором  $\Phi_1, \Phi_2, \Phi_3$  и  $\Phi_4$  определяются (8) и аналогичными уравнениями для  $\lambda_2, \lambda_3$  и  $\lambda_4$  [5]. Из (5) для стационарных решений (3) получаем

$$u = A^2/4 + v/2 + P/2A^2. \quad (9)$$

Здесь  $P$  — постоянная интегрирования, которая имеет вид при  $\lambda_4 = 0$

$$P = 1/2(\lambda_1 + \lambda_2 + \lambda_3) \cdot (\lambda_1 + \lambda_2 - \lambda_3) \cdot (\lambda_1 - \lambda_2 + \lambda_3) \cdot (-\lambda_1 + \lambda_2 + \lambda_3). \quad (10)$$

Используя (7)–(9), находим средние по длине волны осцилляций значения  $\bar{\Phi}$  и  $\bar{u}$  при  $s^2 = 1$  и  $s^2 = 0$  для первого решения (7)

$$\begin{aligned} \bar{\Phi}|_{s^2=1} &= (\lambda_1 + \lambda_4)^2, & \bar{u}|_{s^2=1} &= \lambda_1^2 + \lambda_4^2, \\ \bar{\Phi}|_{s^2=0} &= (\lambda_1 + \lambda_2)^2, & \bar{u}|_{s^2=0} &= \lambda_1^2 + \lambda_2^2. \end{aligned} \quad (11)$$

Для второго решения (7) получаем аналогично

$$\begin{aligned} \bar{\Phi}|_{s^2=1} &= (\lambda_1 + \lambda_4)^2, & \bar{u}|_{s^2=1} &= \lambda_1^2 + \lambda_4^2, \\ \bar{\Phi}|_{s^2=0} &= (\lambda_3 + \lambda_4)^2, & \bar{u}|_{s^2=0} &= \lambda_3^2 + \lambda_4^2. \end{aligned} \quad (12)$$

Формулы (11) и (12) для  $\bar{\Phi}$  получены в работе [5]. Величина  $u$ , имеющая смысл гидродинамической скорости, как это видно из второго уравнения (5), в [5] не рассматривалась.

Будем считать, что в уиземовской области находится простая волна Римана. Для первого решения (7)  $\lambda_1, \lambda_2$  и  $\lambda_4$  постоянные, а меняется  $\lambda_3$ . Для второго решения (7) меняется  $\lambda_2$ , а  $\lambda_1, \lambda_3$  и  $\lambda_4$  постоянны. Оба решения (7) нужно спшить [5] при  $\Phi_2 = \Phi_3, \lambda_2 = \lambda_3$ . Выберем  $\lambda_4 = 0$ .

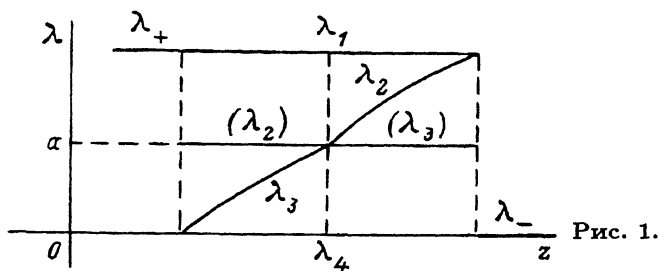


Рис. 1.

Полагаем  $\lambda_2 = \lambda_3 = a$ , где  $a$  постоянная. Если  $\lambda_1 = 2\lambda_2 = 2a$ , то из первого (7) имеем

$$\Phi = \frac{\Phi_3 \operatorname{ch}^2(1/4\Phi_3\sqrt{3}\zeta)}{\operatorname{sh}^2(1/4\Phi_3\sqrt{3}\zeta) + 1/4}, \quad (13)$$

где  $\Phi_3 = 4a^2$ .

Аналогично из второго уравнения (7) при  $\lambda_2 = \lambda_3 = a$  получаем при  $\lambda_1 = 2a$

$$\Phi = \frac{\Phi_3 \operatorname{sh}^2(1/4\Phi_3\sqrt{3}\zeta)}{\operatorname{ch}^2(1/4\Phi_3\sqrt{3}\zeta) - 1/4}. \quad (14)$$

Здесь, как и в (13),  $\Phi_3 = 4a^2$ . Солитоны (13) и (14) лежат на одной  $w$ -образной сепаратрисе в фазовом пространстве [6]. Поэтому спивка двух областей, занятых осцилляциями, должна осуществляться так, как показано на рис. 1. В точке соединения кривых на рис. 1 можно, по-видимому, применить соображения, развитые в [7].

### 3. Обсуждение результатов и выводы

Примем для определенности  $\lambda_1$  на рис. 1 за единицу  $\lambda_1 = 1$ . Согласно (11) и (12), при опрокидывании ступеньки с перепадом  $\bar{\Phi}$  от  $(\lambda_1 + \lambda_2)^2$  до  $\lambda_3^2$  и  $\bar{u}$  от  $(\lambda_1^2 + \lambda_2^2)$  до  $\lambda_3^2$  возникает область с  $\bar{\Phi} = 1$  и  $\bar{u} = 1$  при  $s^2 = 1$ ,  $\lambda_2 = \lambda_3$ , где и осуществляется спивка. Если  $a = 1$ , то области осцилляций, которая описывается вторым решением (7), нет. С ростом времени  $\xi$  узелевская область расширяется, как показано на рис. 2, а, б для момента  $\xi = 0.04$  и  $a = 0.99$ . На переднем фронте  $s^2 = 1$  при этом осцилляции близки к алгебраическому солитону

$$\Phi = \Phi_2 \frac{9 + 4\Phi_2^2\zeta^2}{1 + 4\Phi_2^2\zeta^2}. \quad (15)$$

В интервале  $a/2 < a < 1$  при опрокидывании ступеньки возникает вторая область осцилляций, которая также расширяется со временем. При  $a = 1/2$  однако возникает особенность, которая состоит в том, что в (14)  $\Phi_3 \rightarrow 0$ . При этом  $u \rightarrow -\infty$ , а фаза (2) терпит разрыв производной. При  $a < 1/2$  особенность уходит в глубь второй области осцилляций. Если  $a \ll 1$ , то особенность уходит к точке, где  $s^2 \rightarrow 0$  для второго (7), а осцилляции первого решения (7) будут близки к известному решению

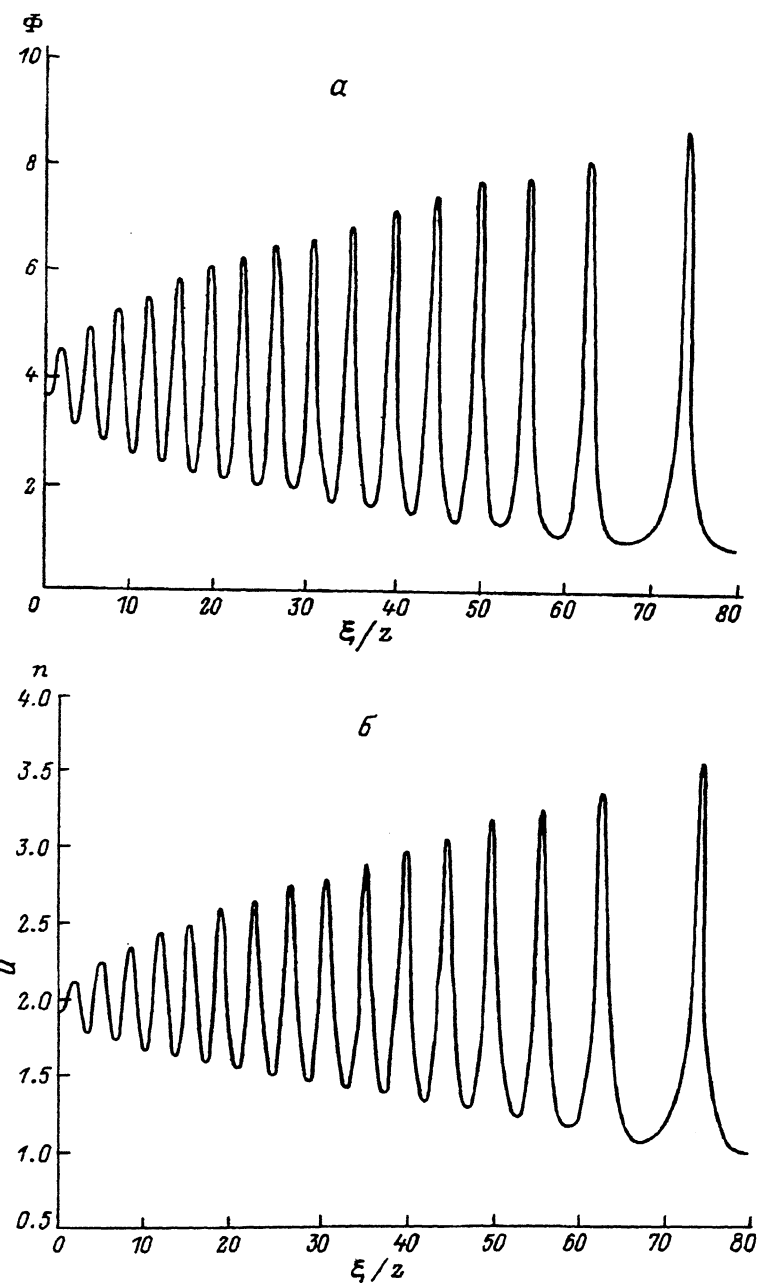


Рис. 2.

для опрокидывающейся ступеньки уравнения КдВ [8]. Ширина области, которую занимают осцилляции, описывающиеся первым и вторым решением (7), определяется выражениями

$$(\Delta t)_1 = a^2 \frac{a^2 + 5}{a^2 + 1},$$

$$(\Delta t)_2 \frac{(1 - a^2) \cdot (6 - a^2)}{2 - a^2}. \quad (16)$$

Здесь  $t = z/\xi$ . Из сказанного выше в этом разделе следует, что упомянутая в [5] и описанная там качественно лишь для величины  $\Phi$  структура, состоящая из двух областей осцилляций, неустойчива по отношению к начальным условиям. При  $0 < a < 1/2$  имеется особенность, связанная со скачком аналога гидродинамической скорости  $u$ .

### Список литературы

- [1] Ахманов С.А., Выслоух В.А., Чиркин А.С. // УФН. 1986. Т. 149. С. 449–509.
- [2] Register A. // Phys. Fluids. 1971. Vol. 14. P. 2733–2741.
- [3] Mjølhus E. // J. Plasma Phys. 1976. Vol. 16. P. 321–328.
- [4] Ландау Л.Д., Лившиц Е.М. Гидродинамика. М.: Наука, 1988. С. 526–527.
- [5] Камчатнов А.М. // ЖЭТФ. 1990. Т. 97. Вып. 1. С. 144–152.
- [6] Вайнштейн С.Н., Топтыгин И.Н., Быков А.М. Турбулентность, токовые слои и ударные волны в космической плазме. М.: Наука, 1989. Гл. 8.
- [7] Гуревич А.В., Питаевский Л.П. // ЖЭТФ. 1987. Т. 92. Вып. 3. С. 871–879.
- [8] Гуревич А.В., Питаевский Л.П. // ЖЭТФ. 1973. Т. 65. Вып. 2. С. 590–604.

Чечено-Ингушский университет  
Грозный

Поступило в Редакцию  
16 января 1992 г.  
В окончательной редакции  
7 сентября 1992 г.

03

© 1992 г.

Журнал технической физики, т. 62, в. 11, 1992

## ИССЛЕДОВАНИЕ ПАРАМЕТРОВ КСЕНОНОВЫХ СВЕРХЗВУКОВЫХ СТРУЙ, ПОЛУЧАЕМЫХ С ПОМОЩЬЮ ЭЛЕКТРОМАГНИТНОГО КЛАПАНА

*Г.С. Волков, В.П. Гигиберия, С.А. Комаров, В.А. Корнило, М.В. Тулупов*

В последнее время в качестве лайнernerной нагрузки сильноточных генераторов РЭП с большим успехом используются полые или сплошные газовые струи из различных газов [1,2]. Как правило, струя формируется сверхзвуковым соплом с числом Маха от 3 до 8. Импульсная подача газа осуществляется пороховой пушкой или электромагнитным клапаном. Для успешного использования газовой струи в качестве лайнernerной нагрузки нужно знать ее основные параметры.

В ряде работ для определения параметров струи использовался датчик типа быстрой ионизационной лампы [3,4]. Возможно также измерение параметров струи по лазерным интерферограммам. Правда в этом случае затруднительно измерить погонную концентрацию  $nl < 10^{18} \text{ см}^{-2}$ .

В нашей работе описано исследование работы электромагнитного клапана и параметров ксеноновой струи на выходе сверхзвукового сопла. Клапан предназначен для проведения лайнernerных экспериментов на установке “Ангара-5-1”. Требуемые параметры полой струи: газ ксенон, погонная масса 100–150 мкг/см, диаметр 30 мм.